

方程式をいじって色々な解を作る：
超対称性量子力学や電磁双対について

中田 陽介

信州大学環境・エネルギー材料科学研究所

8–9. Jan, 2017

イントロ: 超対称量子力学

電気回路にあらわれる SUSY

電磁双対性・バビネの原理

バビネの原理とチェッカーボード

まとめ

イントロ: 超対称量子力学

超対称性とは？

- ボソンとフェルミオンの入れ替えに関する対称性
 - ボソンとフェルミオン1つあたりのエネルギーが一致
→ 各準位が **2重縮退**する (基底状態は違う可能性あり)

$$|3, 0\rangle \text{-----} |2, 1\rangle$$

$$|2, 0\rangle \text{-----} |1, 1\rangle$$

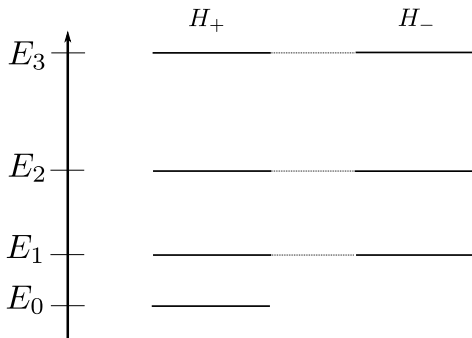
$$|1, 0\rangle \text{-----} |0, 1\rangle$$

$$|0, 0\rangle \text{-----}$$

unbroken SUSY

- $|m, n\rangle$: ボソン m 個, フェルミオン n 個

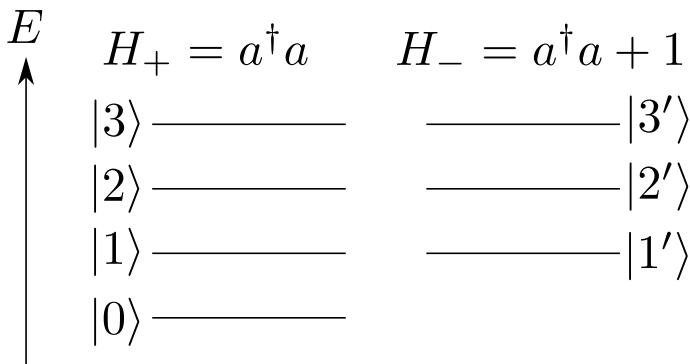
超対称量子力学



エネルギースペクトルが二重縮退する量子系を研究
(最低準位を除いて)
(超対称理論における対称性のアナロジを持つ)

坂本 真人 「量子力学から超対称性へ」, サイエンス社 (2012).

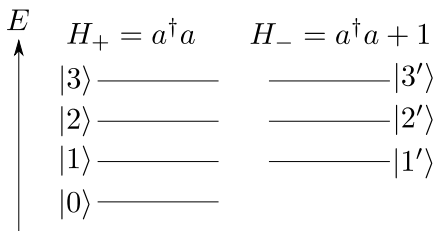
例: 2つの調和振動子



ただし $[a, a^\dagger] = 1$

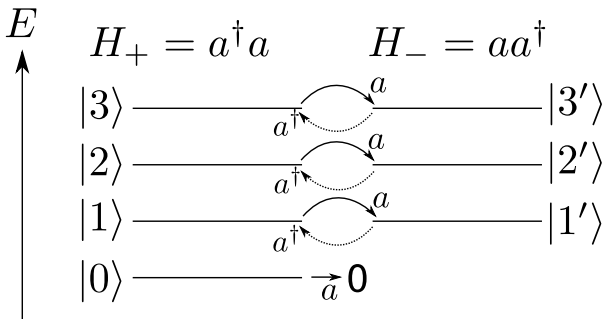
スペクトルは最低準位を除いて一致 (あたりまえ)

なぜスペクトルが一致したのか？



1. $[a, a^\dagger] = 1 \rightarrow H_- = a^\dagger a + 1 = aa^\dagger$
因数分解されたハミルトニアンが入れ替えられている:
 $H_+ = a^\dagger a, H_- = aa^\dagger$
2. $H_+ |n\rangle = (a^\dagger a) |n\rangle = n |n\rangle$ の両辺に a をかけてみる
3. $aa^\dagger (a |n\rangle) = n(a |n\rangle) \rightarrow H_-(a |n\rangle) = n(a |n\rangle)$
4. $|n'\rangle = a |n\rangle$ (もう一方の固有ベクトルが求まる)

調和振動子まとめ

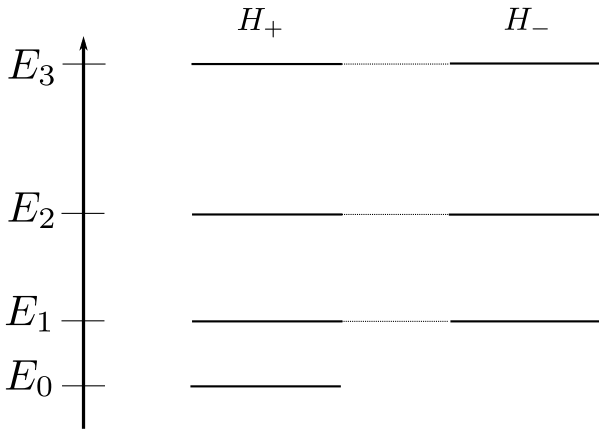


- $|n'\rangle = a|n\rangle$ だが $|0'\rangle$ は作れない
($a|0\rangle = 0$ で消えてしまう)

最低準位はペアを組まない可能性がある

一般化 → Witten 模型

$$H_+ = A^\dagger A, H_- = AA^\dagger$$



$$1 \text{ 次元問題} \rightarrow A = \frac{1}{\sqrt{2m}} \left(-i\hbar \frac{d}{dx} - iW'(x) \right)$$

SUSY の利点

- 一見異なる系でもスペクトルが対応する
 - 2つの系の複合系に SUSY の対称性 (交換関係)
- 片方が解けているともう一方の厳密解が求まる (厳密解が求まる系は裏に対称性があるから求まるとも言える)

電気回路にあらわれる SUSY

電気回路にあらわれる SUSY

金属構造で超対称性 (SUSY) が現れる例を構成する

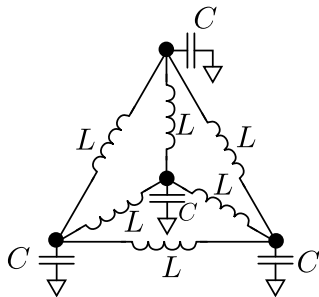
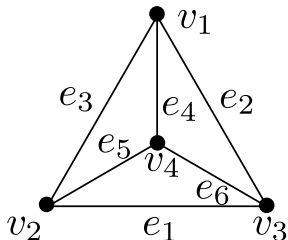
- メタマテリアル・プラズモニクスへの展開可能性

方法

- 電気回路で例を構成
 - グラフとライングラフ上の LC 回路網の共鳴スペクトルが一致する
- 高周波領域に適用
 - マクスウェル理論のスケール不変性より

単純 m -正則グラフ G 上の LC 回路網

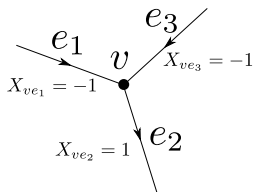
- 単純グラフ: 多重辺やループがない
- m -正則: 各頂点に m 個の辺が接続



- G 上の LC 回路網:
边上に同一コイル, グランドと頂点間に同一コンデンサ

電荷保存則

$$\dot{q} = -XJ$$



電荷: $q = [q_v]^T$, 電流: $J = [J_e]^T$, 接続行列: $X = [X_{ve}]$

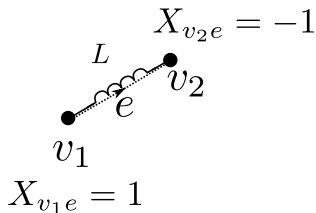
$$X_{ve} = \begin{cases} 1 & (\text{頂点 } v \text{ から辺 } e \text{ がでている}) \\ -1 & (\text{頂点 } v \text{ に辺 } e \text{ が入っている}) \\ 0 & (\text{それ以外}) \end{cases}$$

コイルとコンデンサの応答

コイル:

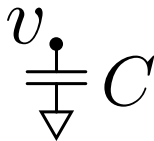
$$L\dot{\mathbf{J}} = \mathbf{X}^T \Phi$$

静電ポテンシャル: $\Phi = [\Phi_v]^T$



コンデンサ:

$$\Phi = \frac{1}{C} q$$



単純 m -正則グラフ上の LC 回路網の共鳴

- $\omega_0 = 1/\sqrt{LC}$, 角周波数 ω

$$\ddot{\mathbf{q}} = -\omega_0^2 \mathbf{L} \mathbf{q}$$

$$\mathbf{q} = \tilde{\mathbf{q}} \exp(-i\omega t) + \text{c.c.} \rightarrow$$

$$\mathbf{L} \tilde{\mathbf{q}} = \left(\frac{\omega}{\omega_0} \right)^2 \tilde{\mathbf{q}}$$

- グラフラプラシアン: $\mathbf{L} = \mathbf{X}\mathbf{X}^T$

グラフラプラシアン of 別の表し方

(向きのない) 接続行列: $\bar{X} = [\bar{X}_{ve}]$

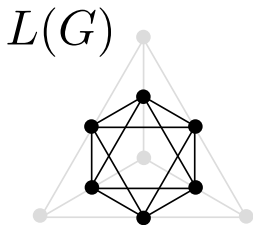
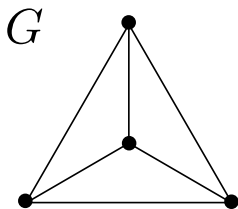
$$\bar{X}_{ve} = \begin{cases} 1 & (\text{頂点 } v \text{ と辺 } e \text{ が繋がっている}) \\ 0 & (\text{それ以外}) \end{cases}$$

$$L = -\bar{X}\bar{X}^T + 2ml$$

(m : 頂点の次数, l : 単位行列)

ライングラフ $L(G)$

1. 元のグラフ G の辺を $L(G)$ の頂点とみなす
2. G の辺 e_1, e_2 が共通の頂点を持つ \rightarrow 対応する $L(G)$ の2頂点を繋ぐ

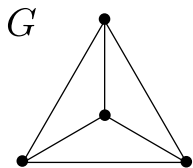


ライングラフのグラフラプラシアン:

$$L_L = -\bar{X}^T \bar{X} + 2mI_L$$

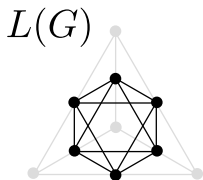
(I_L : 単位行列)

グラフとライングラフ上の LC 回路のスペクトル



$$L\tilde{\mathbf{q}} = \left(\frac{\omega}{\omega_0}\right)^2 \tilde{\mathbf{q}}$$

$$L = -\boxed{\bar{X}\bar{X}^T} + 2ml$$

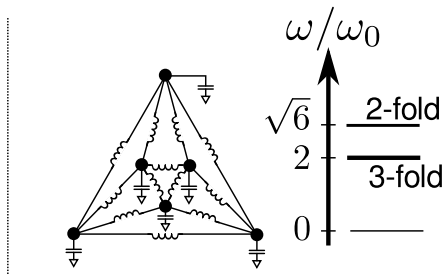
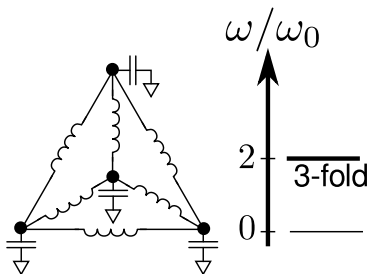


$$L_L\tilde{\mathbf{q}}_L = \left(\frac{\omega}{\omega_0}\right)^2 \tilde{\mathbf{q}}_L$$

$$L_L = -\boxed{\bar{X}^T\bar{X}} + 2ml_L$$

共鳴スペクトルが一致しなければならない (最高準位は除いて)

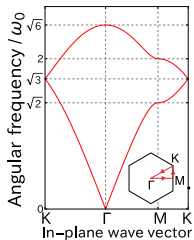
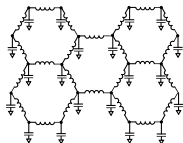
具体例: 有限グラフ



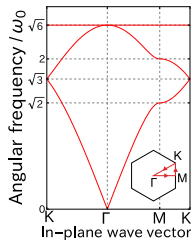
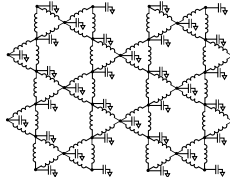
スペクトルが一致 (最高準位を除いて)

具体例: 六角格子とカゴメ格子

六角格子



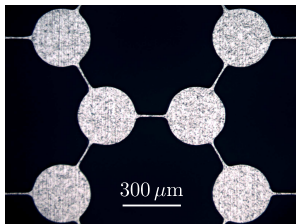
カゴメ格子



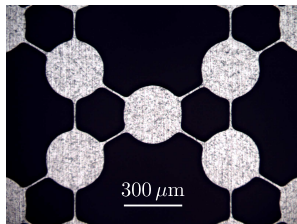
スペクトルが一致
分散も一致 (フラットバンドを除いて)

金属六角格子・カゴメ格子

六角格子



金属カゴメ格子



(SUS304 製, 厚み: 30 μm)

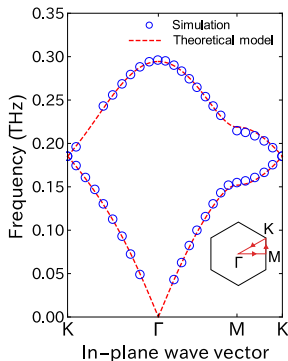
回路モデルで説明可

Y. Nakata *et al.*, Phys. Rev. B **85**, 205128 (2012).

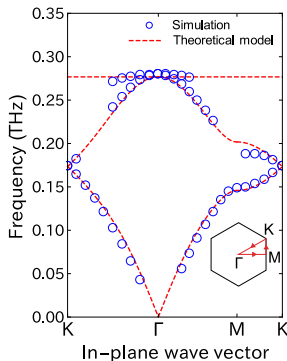
S. Kajiwara *et al.*, Phys. Rev. B **93**, 075126 (2016).

シミュレーションによる比較

六角格子



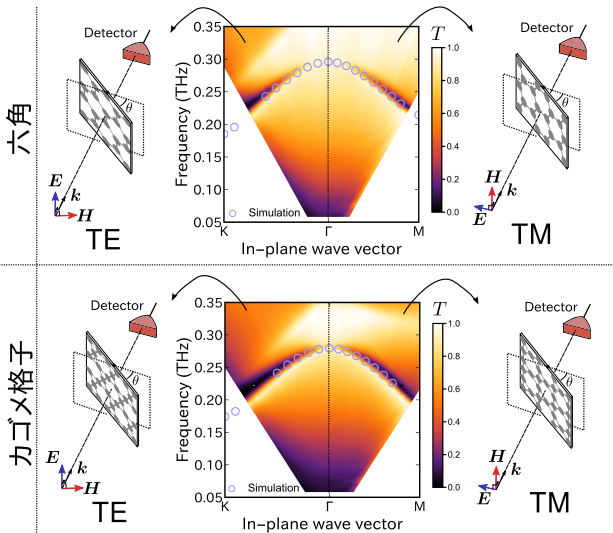
カゴメ格子



($P = C^{-1}(I + \eta A)$, A: 隣接行列でフィット)

バンドの対応が示された

第2バンドの対応をテラヘルツ時間領域分光法で観測



電磁双対性・バビネの原理

ヘルムホルツ方程式

マクスウェル方程式

•

$$\nabla \times \mathbf{E} = -\frac{\partial \mathbf{B}}{\partial t}$$

•

$$\nabla \times \mathbf{H} = \frac{\partial \mathbf{D}}{\partial t}$$

$c = 1/\sqrt{\epsilon\mu} \rightarrow$ 波動方程式

$$\nabla \times \nabla \times \mathbf{E} = -\frac{1}{c^2} \frac{\partial^2 \mathbf{E}}{\partial t^2}$$

$$\mathbf{E}(\mathbf{x}, t) = \text{Re}[\tilde{\mathbf{E}}(\mathbf{x}) \exp(-i\omega t)]$$

ヘルムホルツ方程式

$$\nabla \times \nabla \times \tilde{\mathbf{E}} = \left(\frac{\omega}{c}\right)^2 \tilde{\mathbf{E}}$$

ヘルムホルツ方程式における SUSY

ヘルムホルツ方程式

$$\nabla \times \nabla \times \tilde{\mathbf{E}} = \left(\frac{\omega}{c}\right)^2 \tilde{\mathbf{E}}$$

$A = A^\dagger = \nabla \times$ (パートナーは自分自身)

$\tilde{\mathbf{E}}$ が解 $\rightarrow A\tilde{\mathbf{E}}$ も解

電磁双対性

$\tilde{\mathbf{E}} \rightarrow \nabla \times \tilde{\mathbf{E}} \propto \tilde{\mathbf{H}}$ の置き替えに関して方程式は不変

マクスウェル方程式における電磁双対

- マクスウェル方程式

-

$$\nabla \times \mathbf{E} = -\frac{\partial \mathbf{B}}{\partial t}$$

-

$$\nabla \times \mathbf{H} = \frac{\partial \mathbf{D}}{\partial t}$$

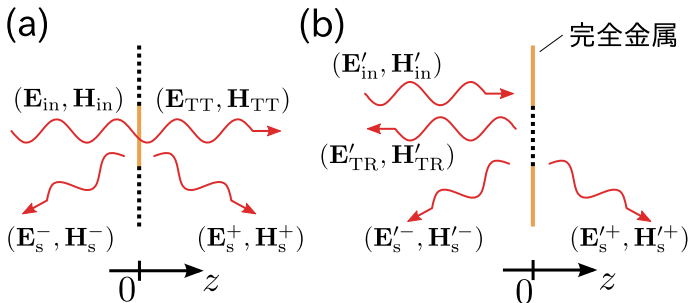
- 電磁双対変換:

$$\mathbf{E} \rightarrow -Z\mathbf{H}, \mathbf{H} \rightarrow \mathbf{E}/Z$$

$$(Z = \sqrt{\mu/\varepsilon})$$

- 対応する保存量はヘリシティ

バビネの原理



入射場: $(\mathbf{E}'_{in}, \mathbf{H}'_{in}) = (-Z_0 \mathbf{H}_{in}, \mathbf{E}_{in}/Z_0)$

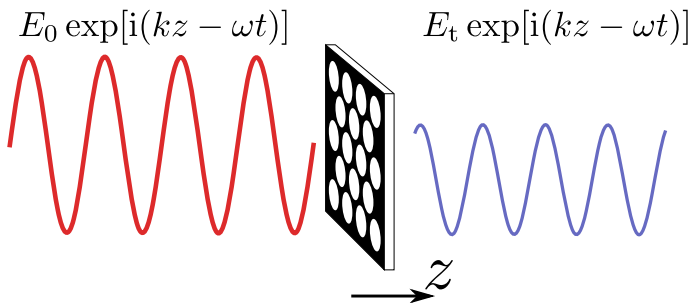
$$\rightarrow (\mathbf{E}'_s^\pm, \mathbf{H}'_s^\pm) = \pm(Z_0 \mathbf{H}_s^\pm, -\mathbf{E}_s^\pm/Z_0)$$

$(Z_0 = \sqrt{\mu_0/\epsilon_0}, \text{TT: 完全透過, TR: 完全反射})$

片方が解けているともう一方は自動的に解ける

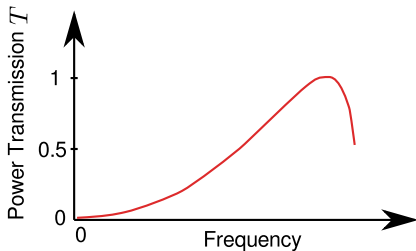
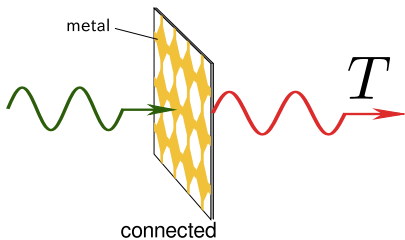
バビネの原理とチェッカーボード

振幅透過率とパワー透過率



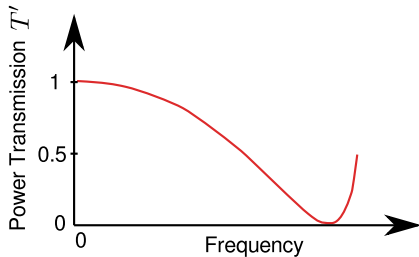
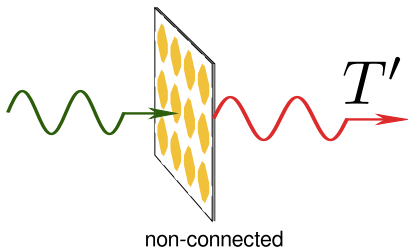
amplitude transmission $t = E_t/E_0$
power transmission $T = |t|^2$

接続状態のチェッカーボードの透過スペクトル



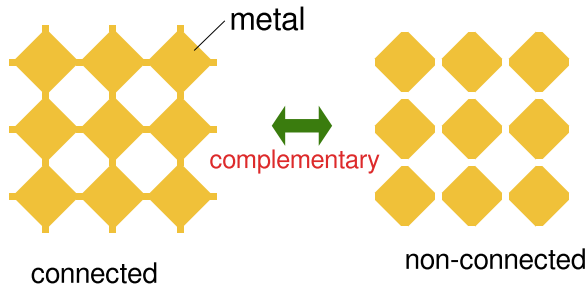
- 低周波数で完全反射

非接続状態のチェッカーボードの透過スペクトル



- 低周波数で完全透過

補対性



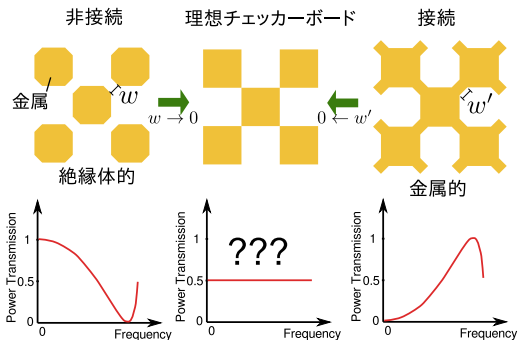
- **補対**: 金属 \leftrightarrow 空隙の入れ替えでやり合う

ナイーブなバビネの原理: $T + T' = 1$

(T : パワー透過率,

T' : 補対問題のパワー透過率)

チェッカーボード構造の相転移

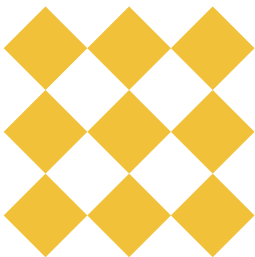


- 応答が劇的に接点状態に依る
- 接続状態の変化による“メタマテリアルの相転移”
→ 変調器への応用可能性

相転移の中間点を特徴付けることはできるだろうか？

理想チェッカーボード

自身と補対

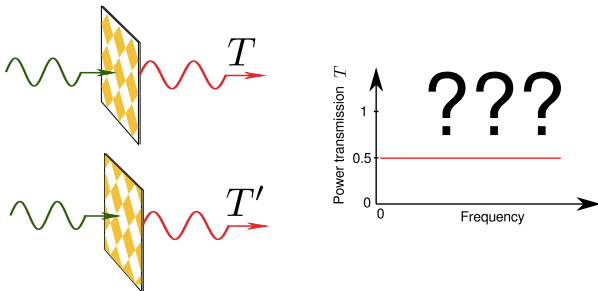


self-complementary

接続状態と非接続状態の間の臨界的構造

理想チェッカーボードのパワー透過率

- 理想チェッカーボード ($T + T' = 1$ and $T = T' \rightarrow T = T' = 1/2$):
周波数無依存応答?



R. C. Compton *et al.*, Opt. Acta Int. J. Opt. 31, 515 (1984).

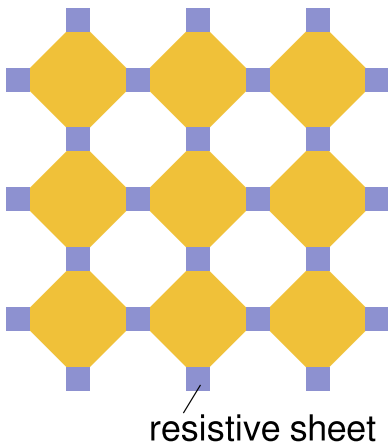
K. Takano *et al.*, Opt. Express 22, 24787 (2014).

疑問

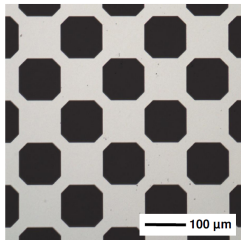
- チェッカーボードで周波数無依存応答をさせることはできるのか？
- 接続状態と非接続状態の中間状態はなにか？

抵抗を持つ中間状態

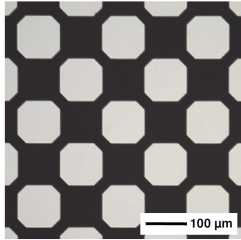
- 抵抗で臨界性をおさえる



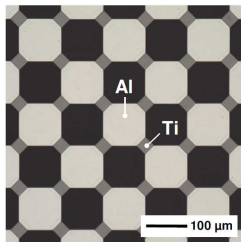
作製したサンプル



connected



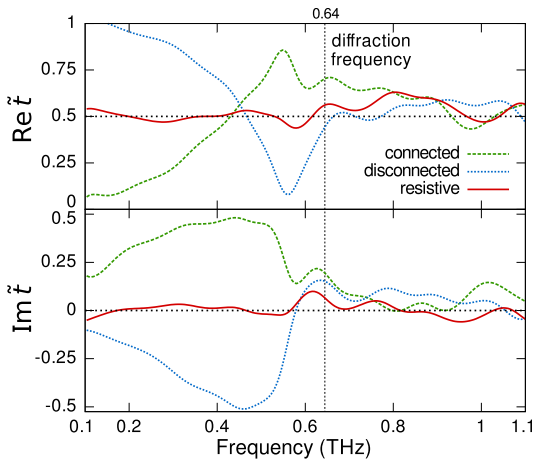
disconnected



resistive

- c 面サファイア基板 (サンドイッチ)
- 金属: アルミ (400 nm)
- 抵抗体: Ti (19 nm, appropriately selected)

結果: 複素振幅透過率



connected

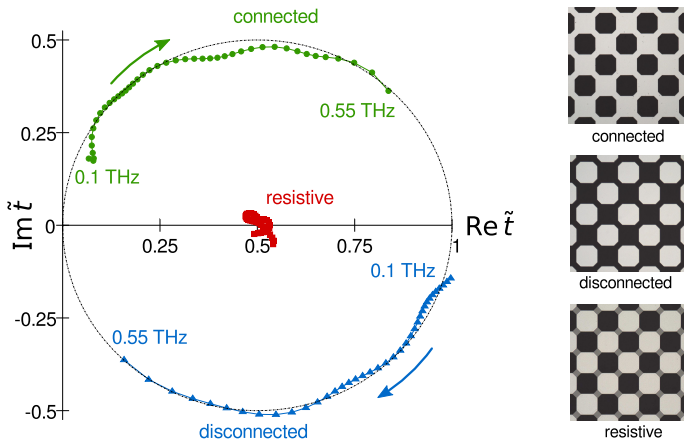


disconnected



resistive

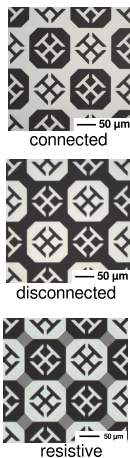
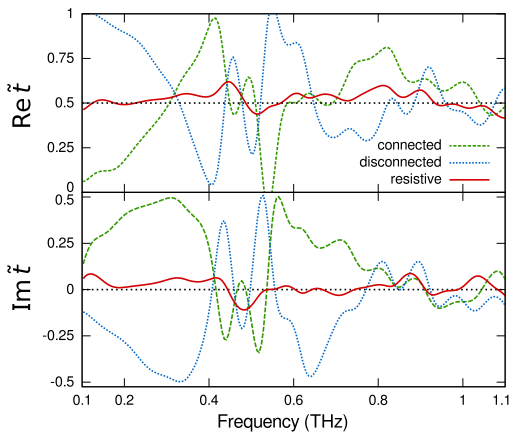
結果: 複素振幅透過率



- **パワー透過率 $T = |\tilde{t}|^2 \rightarrow 1/4$ for resistive one!**

Y. Urade, Y. N., T. Nakanishi, and M. Kitano, Phys. Rev. Lett. **114**, 237401 (2015).

共鳴の消去



Y. Urade, Y. N., T. Nakanishi, and M. Kitano, Phys. Rev. Lett. **114**, 237401 (2015).

抵抗シートのモデル化: シートインピーダンス

$$E_{\parallel}(x, y) = Z_s(x, y)\mathbf{K}(x, y)$$

($V = RI$ の類似)

- $\mathbf{K}(x, y)$: 表面電流密度 ($\sim \text{A/m}$)
- $E_{\parallel}(x, y)$: 面内電場 ($\sim \text{V/m}$)
- $Z_s(x, y)$: シートインピーダンス ($\sim \Omega$)

金属・空隙の入れ替えを拡張する必要がある

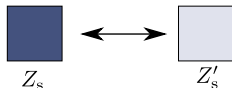
$Z_0/2$ に関するインピーダンス反転

- 補対: Z_s の表面 $\rightarrow Z'_s$ を持つ表面

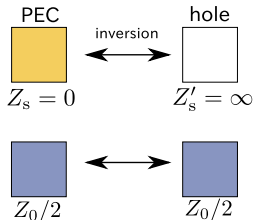
$$Z_s Z'_s = \left(\frac{Z_0}{2}\right)^2$$

- Z_0 : 真空のインピーダンス

• Impedance inversion



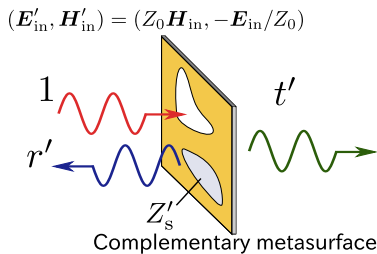
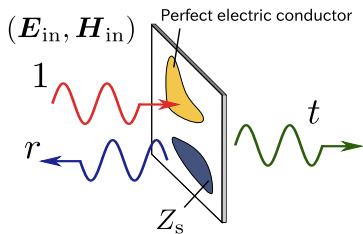
• Examples



C. E. Baum and H. N. Kritikos, editors, "Electromagnetic Symmetry"

(Taylor & Francis, Washington, 1995).

抵抗体に対するバビネの原理



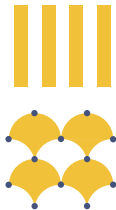
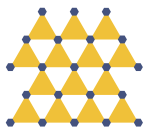
- 平面波入射
 - 入射電場 \leftrightarrow 入射磁場 (補対問題に対して)
- 偏光変換なしの複素振幅透過率: t, t'

バビネの原理

$$t + t' = 1$$

自己補対メタ表面の例

自分自身の補対と合同



■ : Perfect electric conductor ■ : Resistive sheet with surface impedance $Z_0/2$

この対称性は合同変換に関するものとは異なる

周波数無依存の透過率

- 金属メタ表面は通常共鳴を示す
- 自己補対性は共鳴を取り除く

Proof sketch :

- 自己補対性 $\rightarrow t = t'$ (ある条件のもとで)
- バビネの原理 $t + t' = 1 \rightarrow t = t' = 1/2$
 $T = |t|^2 = |t'|^2 = 1/4$

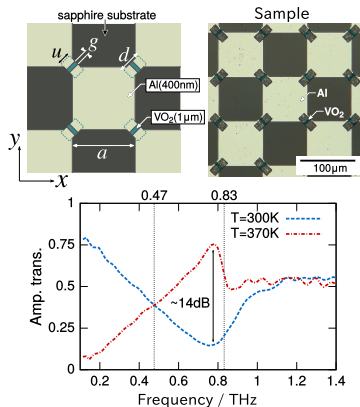
自己補対性 \rightarrow 周波数無依存応答

Y. N., Y. Urade, T. Nakanishi, and M. Kitano, Phys. Rev. B **88**, 205138 (2013).

変調応用

動的変調子

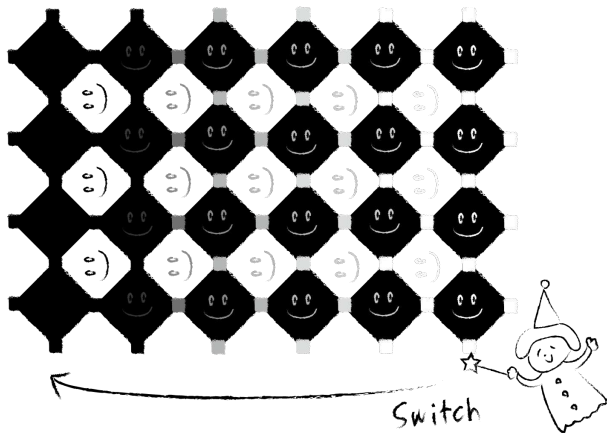
- c 面サファイア基板 (片側のみ)
- 金属: Al (400 nm)
接点: VO₂ (1 μm)
- 基板の効果を補正
- $a = 75 \mu\text{m}$, $g = 5 \mu\text{m}$, $u = 15 \mu\text{m}$
 $d = 32 \mu\text{m}$



バンドパス・ストップの切替

Y. Urade, Y. N., *et al.*, Opt. Express **24**, 4405 (2016).

偏光操作に向けた拡張: 異方的切替



対称性: 自分の裏側がもとの90度回転になっている

異方的透過反転

- $t^{(\text{off})} + t^{(\text{on})} = 1$

は前述の対称性の元で次のように拡張できる:

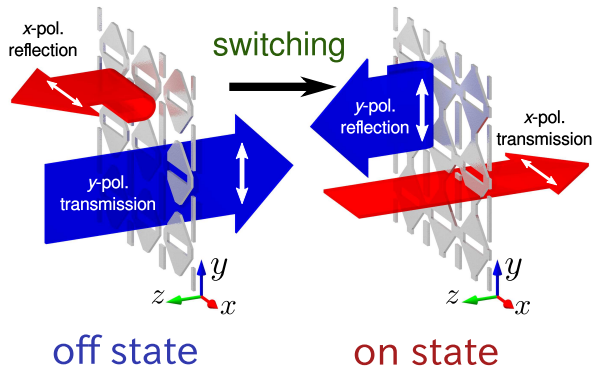
- $t_x^{(\text{off})} + t_x^{(\text{on})} = 1$

- $t_y^{(\text{off})} + t_y^{(\text{on})} = 1$

(直交偏光それぞれに対する透過反転)

動的偏光子への応用

- $t_x^{(\text{off})} + t_x^{(\text{on})} = 1$
- $t_y^{(\text{off})} + t_y^{(\text{on})} = 1$



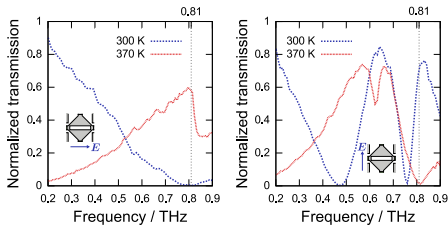
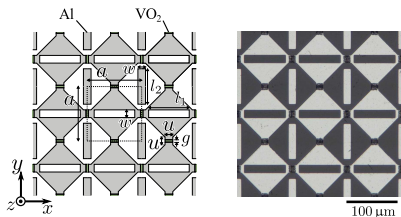
$$t_x^{(\text{off})} \sim 0 \text{ and } t_y^{(\text{off})} \sim 1$$

→

$$t_x^{(\text{on})} \sim 1 \text{ and } t_y^{(\text{on})} \sim 0$$

実装

- c 面サファイア基板 (片側のみ)
- 金属: Al (400 nm)
接点: VO₂ (1 μm)
- $a = 106 \mu\text{m}$, $u = w = 15 \mu\text{m}$,
 $g = 5 \mu\text{m}$, $l_1 = 80 \mu\text{m}$, $l_2 = 69 \mu\text{m}$
- 基板効果の補正済み



Y. N., Y. Urade, *et al.*, Phys. Rev. Applied **6**, 44022 (2016).

まとめ

- 電気回路の SUSY [Phys. Rev. A **93**, 43853 (2016)]
- 周波数無依存応答
 - 周波数無依存応答の観測
[Phys. Rev. Lett. **114**, 237401 (2015).]
 - バビネの原理に基づく理論
[Phys. Rev. B **88**, 205138 (2013).]
 - コヒーレント吸収によるエネルギーの局在化
[Opt. Lett. **41**, 4472 (2016).]
- 変調器応用
 - Capacitive–inductive 切替
[Opt. Express **24**, 4405 (2016).]
 - 動的偏光子
[Phys. Rev. Applied **6**, 44022 (2016).]
 - 非対称透過の切替
[EPJ Appl. Metamat. to be published (2017).]

Physics Buzz

“Physics Buzz” “checkerboard” で検索

Physics Buzz: Manipulating Light by Checkerboard - Mozilla Firefox

physicsbuzz.physicscentral.com/2016/10/

physics central physics buzz blog

physics fun and e

Friday, October 21, 2016

Manipulating Light by Checkerboard

From [Vans shoes](#) to [Pinterest cakes](#) and the [2020 Olympic Games logo](#), checkerboard patterns draw us in. Their contrasting colors have symbolized duality, co-existence, and harmony throughout history. They cover floors, flags, and furniture. In work that puts a 21st century spin on checkerboards, a team of Japanese researchers recently demonstrated that a special kind of checkerboard can be used to create state-of-the-art optical tools.

Marble and Granite Checkerboard floor of the Old Royal Palace (Prague, Czech Republic).
Image Credit: [Chris Wells \(CC BY 2.0\)](#).

Visit [PhysicsCentral.com](#)

Follow [Physics Central](#)

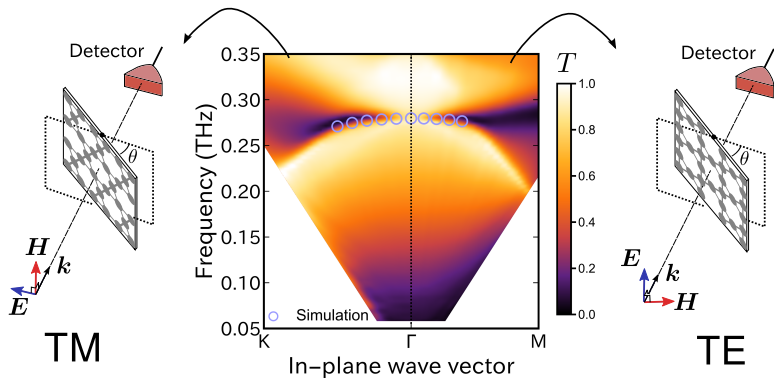
Popular on [Physics Buzz Week](#)

[Your Friday E Magic](#)
It's Friday aft
Let's look int
archives of p
and pretend we're still w

[Action! New on Mysteriou Signals](#)
If the story c
radio bursts
a movie, you might find i
mystery category. Or sci

補足スライド

カゴメ格子のフラットバンド



日常生活におけるメタ表面



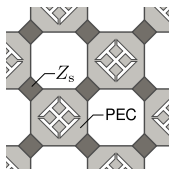
日常生活におけるメタ表面2



Connected Metal mesh
○ Optical × Microwave

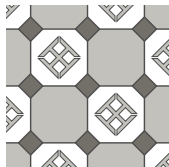
Self-complementarity \rightarrow flat transmission?

(a)



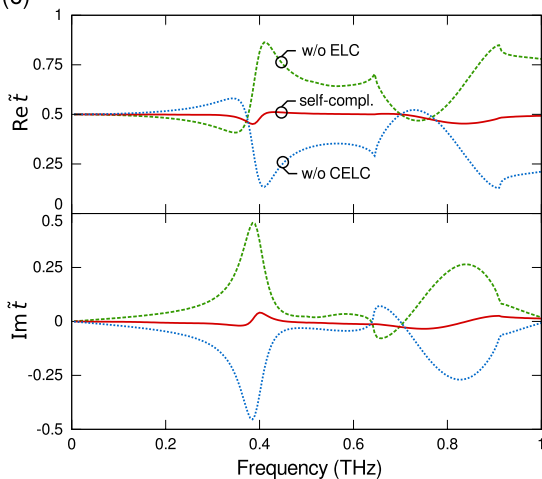
without ELC resonators

(b)

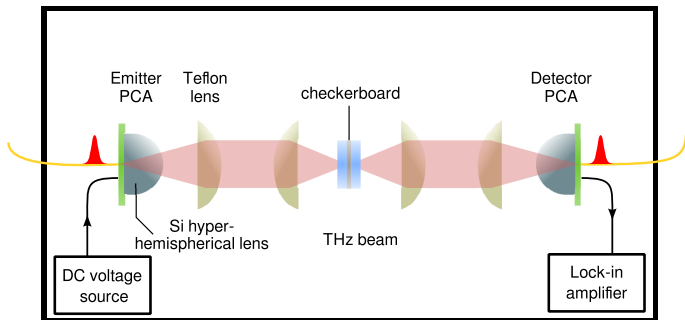


without CELC resonators

(c)

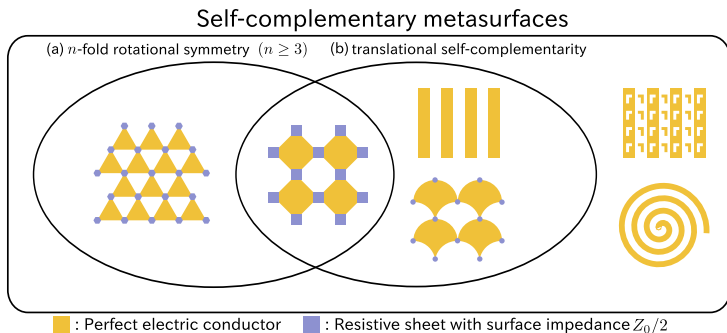


測定装置



- 垂直入射: 直線偏光 THz 波
- $\tilde{i}(\omega) = \tilde{E}(\omega) / \tilde{E}_{\text{ref}}(\omega)$
 $\tilde{E}_{\text{ref}}(\omega)$: サファイアのリファレンス信号

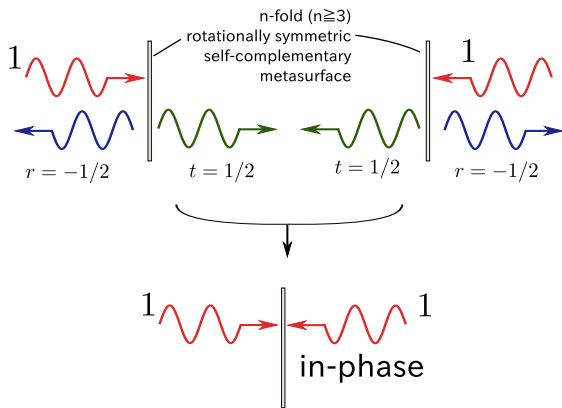
周波数無依存応答のための条件



- 自己補対メタ表面: 円偏光垂直入射
 - 回転型: 任意偏光垂直入射
 - 平行異動型: 円偏光斜め入射

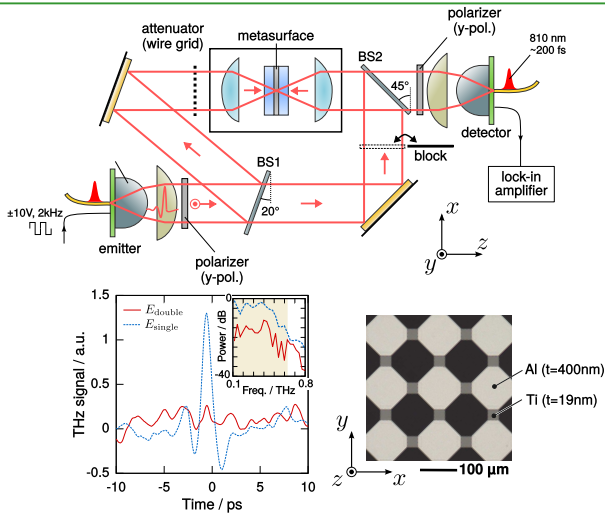
Y. N., Y. Urade, T. Nakanishi, and M. Kitano, Phys. Rev. B **88**, 205138 (2013).

コヒーレント完全吸収



coherent perfect absorption

コヒーレント完全吸収の実験的実現



Y. Urade, Y. N., T. Nakanishi, and M. Kitano, Opt. Lett. **41**, 4472 (2016).

Sufficient symmetry for extended inversion

(Impedance inverted off state) = ($\pi/2$ -rotated on state)

